

ZVS QR 电源中，如果使用功率 MOSFET，在 MOSFET 关断期间将它的输出电容 ( $C_{oss}$ ) 加入谐振电容中（置于漏极和源极之间）。有些设计者只利用 MOSFET 的  $C_{oss}$ ，但使用这个方法必须注意，此电容是非线性的，并随着电压而变化，此外每个 MOSFET 电容值也互不相同。然而这样做，设计者可以减少所谓的电荷堆积。MOSFET 开通期间，需要通过漏极将  $C_{oss}$  上的电荷放掉。

在 QR 电源中，识别和利用这些寄生损耗是一项令人感兴趣的挑战。所以，要仔细分析它的工作过程，并处理好谐振回路。

#### 4.6.4 移相 PWM 全桥变换器

因为全桥变换器是输出功率最高的一类，所以功率开关的损耗就成为特别关注的问题。普通 PWM 全桥变换器中，对角的功率开关是同时动作的。这使得一次绕组输入不再为低阻抗回路，导致由漏感和励磁电感引起的尖峰和振荡。过去，这种噪声只能用有损吸收网络来减少。

通过改变功率开关控制策略，使其中一个功率开关先关断，一次绕组的另一端仍与交流地相接。这使得一次绕组空载端与谐振电容配合，并产生可控的  $dv/dt$ 。漏电感和功率 MOSFET 的输出电容构成了这个谐振网络。一次绕组的开路端电压振荡到下管的母线端电位，然后下管 MOSFET 以 ZVS 方式开通。接着与一次绕组滞后端相接的 MOSFET 可以关断，且滞后端振荡到上管的母线端电位，最后上管 MOSFET 可以开通。它们的波形见图 4-18。

由于在它们各自的关断瞬间，一次绕组的两端都有一个单端流过的负载电流，所以每个 MOSFET 都实现了 ZVS 关断。由于输出整流管电流转换近似零电流

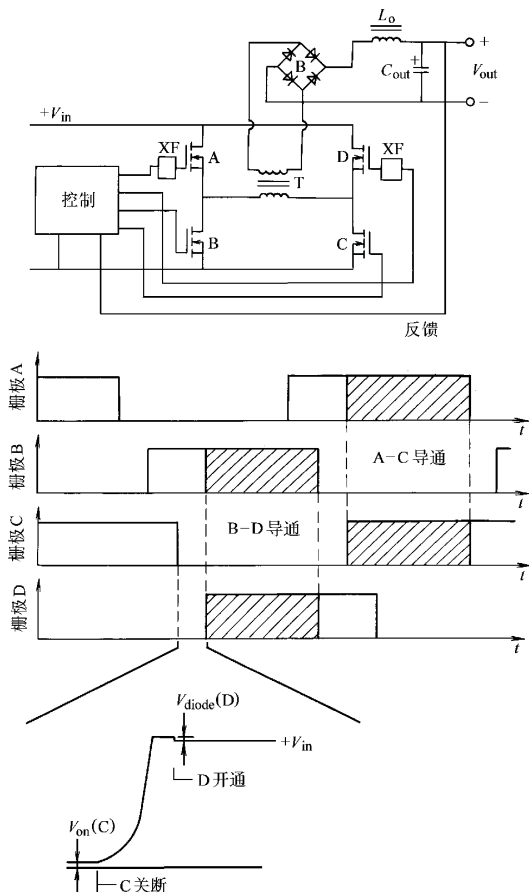


图 4-18 PWM 全桥变换器的移相

开关，使输出整流器的效率有了提高。

市场上有这种控制 IC 芯片出售，这个技术增加了全桥变换器的频率和效率，效率比普通的 PWM 全桥变换器效率提高 3% ~ 5%。当然，因为需要栅极驱动变压器，所以成本会增加。

## 4.7 高效率开关电源设计实例

以下设计实例中，包含了各种技巧来提高开关电源的总体效率。有源钳位和无损吸收电路的设计主要依靠经验来完成的，所以不在这里介绍。

采用新技术时必须小心，因为很多是有专利的，可能需要直接付专利费给专利持有人，或在购买每一片控制 IC 芯片时，支付附加费用。在将这些电源引入生产前，请注意这个问题。

### 4.7.1 10W 同步整流 Buck 变换器

#### 应用

此设计实例是 PWM 设计实例 1 的再设计，它包括了如何设计同步整流器（3.15.1 节）。

在设计同步整流开关电源时，必须仔细选择控制 IC。为了效率最高和体积最小，一般同步控制器在系统性能上各有千秋，使得控制器只是在供应商提到的应用场合中性能较好。很多运行性能的微妙之处不能确定，除非认真读过数据手册。例如，每当作者试图设计一个同步整流变换器，并试图使用现成买来的 IC 芯片时，3/4 设计会被丢弃。这是因为买来的芯片功能或工作模式往往无法改变。更不用说，当发现现成方案不能满足需求时，是令人沮丧的（见图 4-20 的电路图）。

#### 设计指标

输入电压范围:	DC + 10 ~ + 14V
输出电压:	DC + 5.0V
额定输出电流:	2.0A
过电流限制:	3.0A
输出纹波电压:	+ 30mV (峰峰值)
输出调整:	± 1%
最大工作温度:	+ 40°C

#### “黑箱”预估值

输出功率:	+ 5.0V × 2A = 10.0W (最大)
输入功率:	$P_{out} / \text{估计效率} = 10.0W / 0.90 = 11.1W$
功率开关损耗:	(11.1W - 10W) × 0.5 = 0.5W
续流二极管损耗:	(11.1W - 10W) × 0.5 = 0.5W

#### 输入平均电流

$$\text{低输入电压时 } 11.1W / 10V = 1.11A$$

高输入电压时:  $11.1\text{W}/14\text{V} = 0.8\text{A}$

估计峰值电流:  $1.4I_{\text{out(gated)}} = 1.4 \times 2.0\text{A} = 2.8\text{A}$

设计工作频率为 300kHz。

电感设计 (参见 3.5.5 节)

最恶劣的工作情况是在高输入电压时。

$$\begin{aligned} L_{\min} &= \frac{(V_{\text{in(max)}} - V_{\text{out}})(1 - V_{\text{out}}/V_{\text{in(max)}})}{1.4I_{\text{out(min)}}f_{\text{sw}}} \\ &= \frac{(14\text{V} - 5\text{V}) \times (1 - 5\text{V}/14\text{V})}{1.4 \times 0.5\text{A} \times 300\text{kHz}} = 27.5\mu\text{H} \end{aligned}$$

式中  $V_{\text{in(max)}}$  —— 可能的最大输入电压。

$V_{\text{out}}$  —— 输出电压。

$I_{\text{out(min)}}$  —— 最小负载时的电流。

$f_{\text{sw}}$  —— 工作频率。

电感是个环形表面封装元件，市场上有多种标准表面封装的电感，这里选择的是 Coilcraft 公司的 DO3340P-333 ( $33\mu\text{H}$ )。

功率开关和同步整流器 MOSFET 的选择

**功率开关:** 功率开关要用一个变压器耦合的 N 沟道功率 MOSFET。这里打算使用一个 SO-8 封装的双 N 沟道 MOSFET，以节省 PCB 空间。最大输入电压是 DC14V。因此，可以选用  $V_{\text{DS(on)}}$  不低于 DC + 30V、峰值电流是 2.8A 的 MOSFET。

选择过程的第一步是确定所用 MOSFET 的最大  $R_{\text{DS(on)}}$ ，通过热模型 (见附录 A) 可以确定这个值，最大的  $R_{\text{DS(on)}}$  可由下式得到：

$$R_{\text{DS(on,max)}} = (T_{j(\max)} - T_{amb(\max)}) / I_D^2 R_{JA}$$

同时希望器件的耗散功率小于 1W，所以估计的  $R_{\text{DS(on)}}$  应小于

$$R_{\text{DS(on,max)}} = P_{\text{D(es)}} / I_{\text{pk(es)}}^2 = 1\text{W} / (2.8\text{A})^2 < 127\text{m}\Omega \quad (\text{每个 MOSFET 的最大值})$$

所以选 FDS6912A 双 N 沟道 MOSFET，它是 SO-8 封装，10V 栅极电压时的导通电阻为  $28\text{m}\Omega$ 。

**同步二极管:** 要用一个大约是同步 MOSFET 连续额定容量的 30% 的肖特基二极管与 MOSFET 内部二极管并联，30V 时约为 0.66A。这里使用 MBR130，该二极管在流过 0.66A 时有 0.35V 的正向压降。

**可替换的元件:** 在写本书时，仙童半导体公司出品了一个集成的肖特基二极管和 MOSFET，肖特基二极管直接并在 MOSFET 的硅片上 (SyncFET)。SyncFET 有一个  $40\text{m}\Omega$  N 沟道 MOSFET，与一个  $28\text{m}\Omega$  SyncFET 一起封装，型号为 FDS6982S。

输出电容 (参见 3.6 节)

输出电容值由下列公式确定：

$$\begin{aligned} C_{\text{out(min)}} &= \frac{I_{\text{out(max)}}(1 - DC_{\min})}{f_{\text{sw}} V_{\text{ripple(pp-p)}}} \\ &= \frac{2\text{A} \times (1 - 5\text{V}/14\text{V})}{300\text{kHz} \times 30\text{mV}} = 142\mu\text{F} \end{aligned}$$

输入和输出滤波电容主要考虑的是流入电容的纹波电流。在这个实例中，纹

波电流和电感交流电流是相同的，电感电流最大值限定在 2.8A，纹波电流峰峰值为 1.8A，有效值大约为 0.6A（约为峰峰值的 1/3）。

采用表面安装钽电容，因为它的 ESR 只有电解电容的 10% ~ 20%。在环境温度 +85°C 时，电容将降额 30% 使用。

最佳的电容是来自 AVX 公司的，它的 ESR 非常低，因此可以适应很高的纹波电流，但这是很特殊的电容。在输出端可将下列两种电容并在一起。

AVX:

TPSE107M01R0150 100 $\mu$ F (20%)，10V，150m $\Omega$ ，0.894A (有效值)

TPSE107M01R0125 100 $\mu$ F (20%)，10V，125m $\Omega$ ，0.980A (有效值)

Nichicon:

F750A107MD 100 $\mu$ F (20%)，10V，120m $\Omega$ ，0.92A (有效值)

**输入滤波电容（见 C.1 和 C.2 节）**

这个电容要流过与功率开关相同的电流，电流波形是梯形的，从最初的 1A 很快上升到 2.8A。它的工作条件比输出滤波电容恶劣得多。可把梯形电流看成两个波形的叠加来估计有效值：峰值 1A 的矩形波和峰值 1.8A 的三角波，产生大约 1.1A 的有效值。

电容值由下式计算：

$$C_{in} = \frac{P_{in}}{f_{sw} (V_{ripple(p-p)})^2} = \frac{11.1W}{300kHz \times 0.5^2}$$

电压越高，电容值越低。电容由两个 100 $\mu$ F 电容并联而成，它们是：

AVX (每个系统需两个)：

TPS107M020R0085 100 $\mu$ F (20%)，20V，85m $\Omega$ ，1.534A (有效值)

TPS107M020R0200<sup>①</sup> 100 $\mu$ F (20%)，10V，200m $\Omega$ ，1.0A (有效值)

**选择控制 IC 芯片 (U1)**

期望的 buck 控制 IC 芯片的特性是：

1. 直接从输入电压即可启动的能力。
2. 逐周电流限制。
3. 图腾柱 MOSFET 驱动器。
4. 功率开关和同步整流器 MOSFET 之间延时的控制。

市场上绝大部分同步 buck 控制器都是用于 +5 ~ +1.8V 微处理器调整电源的（如，+12V 的  $V_{dd}$  和 +5V 的  $V_{in}$ ）。也有很多 IC 芯片可以提供足够的功能，使用者可以根据应用来选择这些功能。在选择时，初选了两家加利福尼亚公司的产品，发现只有一种 IC 适合这种要求，就是 Unitrode/TI 的 UC3580-3。

电压误差放大器的内部基准是  $2.5 (1 \pm 2.5\%) V$ 。

**设定工作频率 ( $R_7$ 、 $R_8$  和  $C_8$ )**

$R_8$  给定时电容  $C_8$  充电，而  $R_7$  给定时电容放电。首先，要确定变换器最大占空比。因为输出电压大约是最低输入电压的 50%，所以选择最大占空比为 60%。

① 原文误为 TPS107M020R0085。——译者注

从数据手册得

$$\text{最大占空比} = R_8 / (R_8 + 1.25R_7)$$

或

$$R_8 = 1.875R_7$$

充电时间最大值是  $0.6/300\text{kHz}$  或  $2\mu\text{s}$ 。参数表上定时电容值  $100\text{pF}$  略偏小，不会耗散太多能量。这里采用这个值，因此  $R_8$  的值是

$$R_8 = 2.0\mu\text{s}/100\text{pF} = 20\text{k}\Omega$$

$$R_7 = (20\text{k}\Omega) / 1.875 = 10.66\text{k}\Omega \text{ (取 } 12\text{k}\Omega\text{)}$$

#### 伏-秒限制器 ( $R_4$ 和 $C_5$ )

这个 IC 芯片有前馈最大脉宽限制功能。当输入电压增加时，Buck 变换器工作脉宽会减少。 $RC$  振荡器直接与输入电压相接，并且它的定时值与输入电压成反比。它的定时时间设成比工作脉宽长 30%。如果伏-秒振荡器定时时间到了，而调整单元仍旧导通，则调整单元会被关断。

$C_5$  也取  $100\text{pF}$ ，因为它的定时和振荡器一样，所以  $R_4$  大约是  $47\text{k}\Omega$ 。

#### 设定调整单元和同步整流器 MOSFET 之间的死区时间

根据 3.7.2 节可以进行开通和关断延时的计算，但仍需要在最初调试时调整  $R_6$  (死区设定电阻) 的值。开始设成  $100\text{ns}$  比较好，典型的 MOSFET 开通延时是  $60\text{ns}$ ， $100\text{ns}$  可以保证不会有短路电流。

IC 所产生的死区延时是不对称的。从数据手册的图表上看， $100\text{k}\Omega$  电阻产生开通延时大约为  $110\text{ns}$ ，关断延时为  $180\text{ns}$ 。

在最初调试阶段就要设法减少这些延时。延时使得二极管导通的时间太长，损耗就高，但还是工作在安全区。

#### 栅极驱动变压器的设计 (T1)

栅极驱动变压器是一个简单的  $1:1$  正激式变压器。对变压器没有特别的要求，因为它是小功率、交流耦合 (双向磁通) 的  $300\text{kHz}$  变压器。

用  $0.4\text{in}$  ( $10\text{mm}$ ) 的铁氧体磁环就足够了，如 TDK 公司的 K<sub>S</sub>T10 × 2.5 × 5 ( $B_{\text{sat}}$  是  $3300\text{G}$ )，或 Philips 公司的 266T125-3D3 ( $B_{\text{sat}}$  是  $3800\text{G}$ )。

从 3.5.3 节可知，产生  $1000\text{G}$  ( $0.1\text{T}$ ) 或  $0.3B_{\text{sat}}$  的匝数是

$$\begin{aligned} N_{\text{pri}} &= \frac{V_{\text{in(nom)}}}{4fB_{\text{max}}A_c} \times 10^8 \\ &= \frac{12\text{V}}{4 \times 300\text{kHz} \times 1000\text{G} \times 0.06\text{cm}^2} \times 10^8 \\ &= 16.6 \text{ 匝 (取整 17 匝)} \end{aligned}$$

栅极驱动变压器用两根相同导线 (约 #30AWG) 并绕。为了方便，变压器绕在一个四引脚“鸥翅型” (gull wing) 表面安装骨架上。

#### 电流检测电阻 ( $R_{15}$ ) 和电压检测电阻分压器 ( $R_{11}$ 和 $R_{13}$ )

⊕ 原文误为  $(0.06\text{cm})^2$ 。——译者注

芯片只提供了一个最小 0.4V 阈值的关断引脚。这里打算采用一个备用的过电流保护模式。为了尽可能减小电流检测电阻的尺寸，将采用电流反馈检测电路的一种变型。此处，0.35V 是电压检测电阻分压器 ( $R_{14}$ ) 上的压降。那么  $R_{15}$  为

$$R_{15} = 0.05V/3A = 16.6m\Omega \text{ (取 } 20m\Omega)$$

戴尔 (Dale) 电阻是 WSL-2010-02-05。

设定流过电压检测电阻分压器的电流约为 1.0mA。这样  $R_{13}$  和  $R_{14}$  的总电阻是

$$R_{\text{sum}} = 2.5V/1.0mA = 2.5k\Omega$$

$R_{14}$  为

$$R_{14} = 0.35V/1.0mA = 350\Omega \text{ (取 } 360\Omega)$$

则  $R_{13}$  为

$$R_{13} = 2.5k\Omega - 360\Omega = 2.14k\Omega \text{ (取 } 2.15k\Omega, 1\% \text{ 精度)}$$

则  $R_{11}$  为

$$R_{11} = (5.0V - 2.5V)/1mA = 2.5k\Omega \text{ (取 } 2.49k\Omega, 1\% \text{ 精度)}$$

**电压反馈环补偿 (参见附录 B)**

这是一个电压型正激式变换器。为了得到最好的瞬态响应，将采用双极点、双零点补偿法。

**确定控制到输出特性**

输出滤波器极点由滤波电感和电容决定，且以  $-40\text{dB/dec}$  穿越  $0\text{dB}$  线。它的自然转折频率是

$$\begin{aligned} f_p &= \frac{1}{2\pi \sqrt{L_o C_o}} \\ &= \frac{1}{2\pi \sqrt{33\mu\text{H} \times 200\mu\text{F}}} = 1959\text{Hz} \end{aligned}$$

输出滤波电容引起的零点 (ESR 是两个  $150m\Omega$  并联) 是

$$f_{\text{esr}} = \frac{1}{2\pi R_{\text{esr}} C_o} = \frac{1}{2\pi \times 75m\Omega \times 200\mu\text{F}} = 10.610\text{Hz}$$

功率电路直流绝对增益是

$$A_{\text{DC}} \approx V_{\text{in}}/\Delta V_{\text{error}} = 14V/2.9V = 4.8$$

$$G_{\text{DC}} = 20\lg(A_{\text{DC}}) = 13.6\text{dB}$$

**计算误差放大器补偿极点和零点**

选择  $15\text{kHz}$  穿越频率能满足大部分的应用场合，这使得瞬态响应时间约为  $200\mu\text{s}$ 。

$$f_{\text{xo}} = 15\text{kHz}$$

首先，假定最终闭合回路补偿网络以  $-20\text{dB/dec}$  下降，为获得  $15\text{kHz}$  穿越频率，放大器必须提高输入信号增益，即提高博德图中的增益曲线。

$$G_{\text{xo}} = 20\lg(f_{\text{xo}}/f_p) - G_{\text{DC}} = 20\lg(15\text{kHz}/1.959\text{Hz}) - 13.6\text{dB}$$

$$G_{\text{xo}} = G_2 = +4.1\text{dB}$$

$$A_{\infty} = A_2 = 1.6 \text{ (绝对增益)}$$

这是中频段 ( $G_2$ ) 所需的增益，以获得期望的穿越频率。

补偿零点处的增益是：

$$\begin{aligned} G_1 &= G_2 + 20\lg(f_{cz}/f_{epl}) = +4.1\text{dB} + 20\lg(980\text{Hz}/10\,610\text{Hz}) \\ &= -16.5\text{dB} \end{aligned}$$

$$A_1 = 0.15 \text{ (绝对增益)}$$

为补偿两个滤波器极点，在滤波器极点频率的一半处放置两个零点：

$$f_{cz1} = f_{cz2} = 980\text{Hz}$$

第一个补偿极点置于电容的 ESR 频率处 (4 020Hz)：

$$f_{epl} = 10\,610\text{Hz}$$

第二个补偿极点用于抑制高频增益，以维持高频稳定性：

$$f_{tp2} = 1.5f_{\infty} = 22.5\text{kHz}$$

现在可以开始计算误差放大器内部的元件值，见图 4-19。

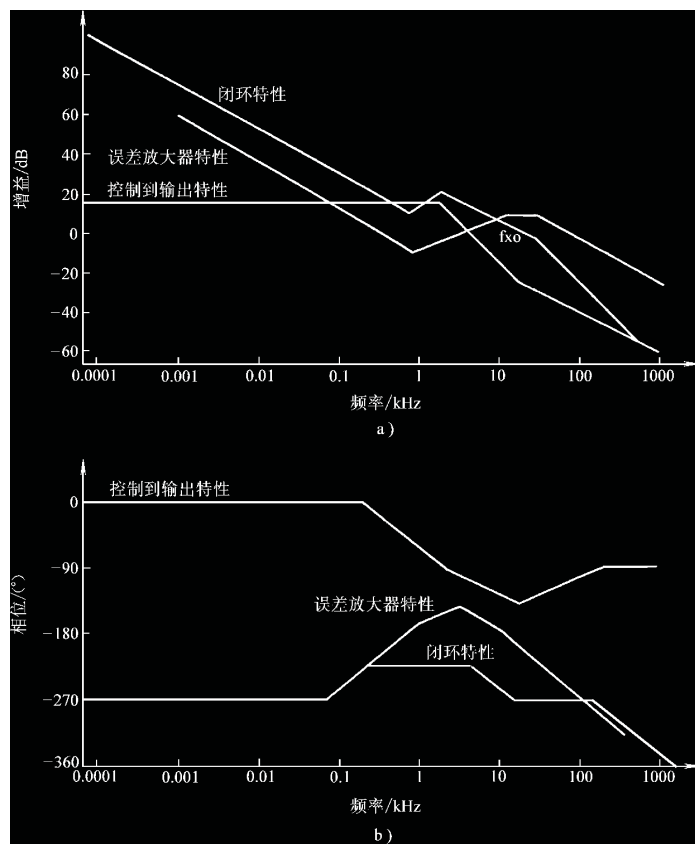


图 4-19 4.7.1 节设计实例的幅频和相频特性博德图  
a) 同步 Buck 变换器的增益 b) 同步 Buck 变换器的相位

$$C_{13} = \frac{1}{2\pi f_{\text{ss}} A_2 R_{11}} = \frac{1}{2\pi \times 15\text{kHz} \times 1.6 \times 2.49\text{k}\Omega}$$

= 0.0026 $\mu\text{F}$  (取 0.0027 $\mu\text{F}$ )

$$R_{10} = A_1 R_{11} = 0.15 \times 2.59\text{k}\Omega = 373\Omega \text{ (取 } 360\Omega)$$

$$C_{12} = \frac{1}{2\pi f_{\text{ezl}} R_{10}} = \frac{1}{2\pi \times 10.610\text{Hz} \times 360\Omega}$$

= 0.042 $\mu\text{F}$  (取 0.05 $\mu\text{F}$ )

$$R_{12} = R_{10}/A_2 = 360\Omega/1.6 = 225\Omega \text{ (取 } 220\Omega)$$

$$C_{10} = \frac{1}{2\pi f_{\text{ez2}} R_{12}} = \frac{1}{2\pi \times 22.5\text{kHz} \times 220\Omega}$$

= 0.31 $\mu\text{F}$  (取 0.33 $\mu\text{F}$ )

最终所设计的电路见图 4-20。

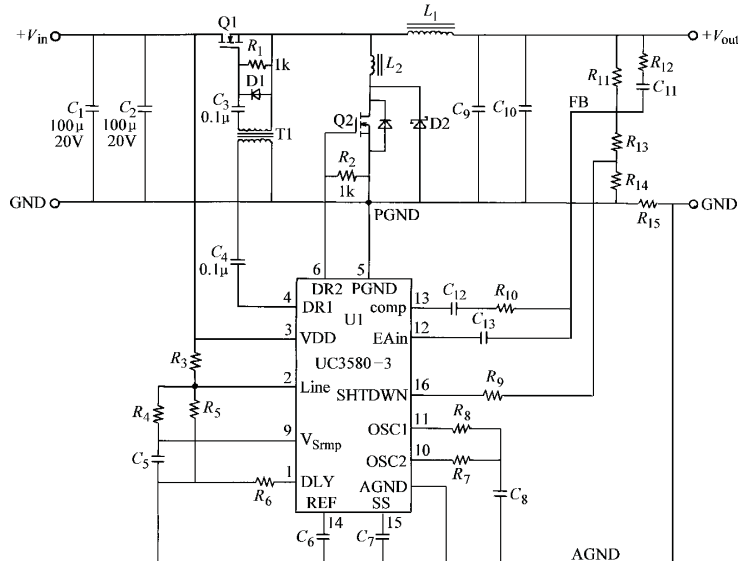


图 4-20 10W 同步 Buck 变换器

#### 4.7.2 15W 零电压开关准谐振电流型控制反激式变换器

这个设计是关于传统的电压控制 ZVS 准谐振变换器的改进。通过将原有的无占空比限制的电流型控制 IC 改变成固定关断时间、可控开通时间的电流型控制方式，可构成 ZVS 拓扑。此外，应用谐振技术减少开关损耗的同时，还有过电流保护和电流型控制响应的优势。虽然它的工作频率可能不超过 1MHz，但确实具备无开关损耗和低的 EMI 辐射的优点，见图 4-22 的电路图。

##### 设计指标

输入电压范围： DC18~32V, DC +24V (额定值)

输出电压: DC + 15V@0.5~1A

欠电压“不启动”的电压: 8.0V ± 1.0V

#### “黑箱”预设计

输出功率:  $V_{\text{out}} I_{\text{out}} = 15V \times 1A = 15W$

最大峰值电流:

$$I_{\text{pk}} = \frac{5.5P_{\text{out}}}{V_{\text{in}(\text{min})}} = \frac{5.5 \times 15W}{18V} = 4.6A$$

输入平均电流:

$$I_{\text{in}(\text{av})} \approx \frac{P_{\text{out}}}{\text{效率} \times V_{\text{in}(\text{nom})}} = \frac{15W}{9 \times 24V} = 0.7A$$

$$I_{\text{in}(\text{av-hi})} \approx \frac{P_{\text{out}}}{\text{效率} \times V_{\text{in}(\text{low})}} = \frac{15W}{9 \times 18V} = 0.926A$$

确定一次绕组所需导线的规格，因为电源需在 18V 下通过额定负载电流，因此一次导线规格为 # 20AWG。

#### 设计反激式变压器

在电源内部，变压器是唯一一个非表面贴安装元件，因为没有表面安装的磁心可以大到支持 15W 的水平。虽然可以用环形的，但这里使用 TDK 公司的低造型 E-E 磁心，(EPC) 公司的低造型磁心也可行。

**确定磁心材料:** 电源将工作在 150~500kHz 频率范围内，有两类磁心材料可以适用于这个频率范围。“F”、“3C8”和“H<sub>7</sub>P<sub>4</sub>”(不同制造厂商生产的类似的材料) 可工作在高达 800kHz。“N”、“3C85”和“H<sub>7</sub>P<sub>40</sub>”可以应用在兆赫范围而只有很小的磁心损耗。在这个应用中，采用 H<sub>7</sub>P<sub>40</sub> 材料 (TDK)。

**确定磁心尺寸:** TDK 按磁心在单管正激式变换器中能处理的功率大小分级。它的体积要求非常类似于反激式变换器。适合 15W 的 EPC 磁心为 EPC17 或更大型号。这一体积的规格型号是：磁心为 PC40EPC17-Z；骨架为 BER17-1111CPH 和固定夹为 FEPC17-A。

**确定一次电感:** 设定最大开通时间为 7μs，这种情况出现在最小输入电压时，则一次电感将等于

$$L_{\text{pri}} = \frac{V_{\text{in}(\text{min})} T_{\text{on}(\text{max})}}{I_{\text{pk}}} = \frac{18V \times 7\mu s}{4.6A} = 27.3\mu H$$

气隙长度约等于

$$l_{\text{gap}} \approx \frac{0.4\pi L_{\text{pri}}^2 \times 10^8}{A_c B_{\text{max}}^2} = \frac{0.4\pi \times 27\mu H \times 4.6A^2 \times 10^8}{0.22\text{cm}^2 \times 1800\text{G}^2} = 0.101\text{cm}$$

有这个气隙的磁心的  $A_L$  约为 55nH/N<sup>2</sup>。这里采用 TDK 的  $A_L$  并用下列公式计算匝数：

$$N_{\text{pri}} = \sqrt{\frac{L_{\text{pri}}}{A_L}} = \sqrt{\frac{27\mu H}{55\text{nH}}} = 22.2 \text{ 匝 (取 22 匝)}$$

二次绕组电感控制磁心在断续模式运行时释放自身储存能量的速率。由于输入和

---

⊕ 原文误为 55μH。——译者注

输出电压在幅值上非常接近，可以用 1:1 的匝比，这样对于相应的 PWM 系统来说，关断时间是  $3\mu\text{s}$ 。这里取匝比为 1:1，用双线并绕，以达到最高的耦合度。

$$N_{\text{sec}} = 22 \text{ 匝}$$

### 线径

一次绕组： # 20AWG 或相当的导线——取 # 24AWG3 股

二次绕组： # 20AWG 或相当的导线——取 # 24AWG3 股

为防止混淆，使用两种不同颜色的导线。

### 变压器绕线技巧

一次和二次绕组导线在绕到骨架上之前要先绞在一起，将各绕组端部分开，并焊到引脚上。将一层聚酯薄膜覆盖在外层，使其美观和安全。

### 设计谐振回路

这是对谐振回路参数初步的估算，因为现在还不可能预计实际电路所有寄生参数的影响。计算的回路参数值和控制 IC 的关断时间必须在调试时再调整。

首先，假定储存在 LC 谐振回路的能量是平均分配的，即

$$\frac{P_{\text{out}}}{f_{\text{op}}} = \frac{C_r V_c^2}{2} = \frac{L_r i_L^2}{2}$$

整理上式并解得谐振电容值为

$$C_r = \frac{2P_{\text{out}}}{V_c^2 f_{\text{op}}}$$

欲限制谐振电容 ( $C_7$ ) 上的尖峰电压小于 100V，解得

$$C_r = \frac{2 \times 15\text{W}}{70\text{V}^2 \times 250\text{kHz}} = 0.024\mu\text{F} \quad (\text{取 } 0.02\mu\text{F})$$

选择电源的最高工作频率为 250kHz。轻载时，最大开通时间应在 10% ~ 15% 之间。所以谐振频率也在 250kHz 左右，解得谐振电感为

$$L_r = \frac{1}{C_r \times 2\pi f_r^2} = \frac{1}{0.02\mu\text{F} \times (2\pi \times 250\text{kHz})^2} = 20\mu\text{H}$$

### 设计输出整流/滤波级

#### 输出整流器选择

$$V_r = V_{\text{out}} + \frac{N_{\text{sec}}}{N_{\text{pri}}} (V_{\text{in(max)}}) = 15\text{V} + 32\text{V} = 47\text{V}$$

二极管 D4 选用 MBR360。

计算所需的输出滤波电容

$$C_o = \frac{I_{\text{out(max)}} T_{\text{off}}}{V_{\text{ripple}}} = \frac{1\text{A} \times 2\mu\text{s}}{50\text{mV}} = 40\mu\text{F}$$

取电容  $C_8$  为  $47\mu\text{F}/\text{DC } 25\text{V}$ 。采用高等级的钽电容，并与  $0.5\mu\text{F}$  陶瓷电容并联。

### 设计自启动部分

采用电流限制线性调节型启动电路。

对于基极偏置电阻  $R_1$ ：

$$R_1 = (18\text{V} - 12\text{V}) / 0.5\text{mA} = 12\text{k}\Omega$$

对集电极限流电阻  $R_2$ ：

$$R_2 = (18V - 13V) / 10mA = 500\Omega \text{ (取 } 510\Omega)$$

### 设计控制部分

使用普通的 UC3842 电流型控制 IC。因为 IC 不能有 50% 占空比的限制，所以挑选 IC 也很重要。振荡器工作在固定关断时间的单触发方式，即关断时定时电容短接到地，开通时间由电流检测输入引脚控制。当电流达到一定值时，定时电容将被释放，振荡器如同一个单触发定时器，如此循环工作。

**改造成固定关断时间的控制器：**在定时电容两端接一个小功率 N 沟道 MOSFET，它的栅极与主功率 MOSFET 的栅极相接，小功率 MOSFET 可选 BS170 或 2N7002。根据有关元器件数据手册以及约  $2\mu s$  的关断时间，定时元件电阻大约为  $15k\Omega$ ，电容为  $220\text{pF}$ 。这些值在调试时还要进一步调整到与谐振回路的半周期相匹配。

### 设计电压负反馈环

使用  $1.0\text{mA}$  的检测电流，使得电压检测电阻分压器的下电阻 ( $R_o$ ) 为  $2.49k\Omega$ 、 $1\%$  上电阻 ( $R_s$ ) 等于

$$R_s = (15V - 2.5V) / 1mA \\ = 12.5k\Omega \text{ (取 } 12.4k\Omega, 1\%)$$

### 设计反馈环补偿

零电压准谐振电源通常频率随着电源电压和负载的变化而发生 4 倍的改变，由于这种改变，估计最低开关频率为  $80\text{kHz}$ 。可以用这个值来估算补偿量。

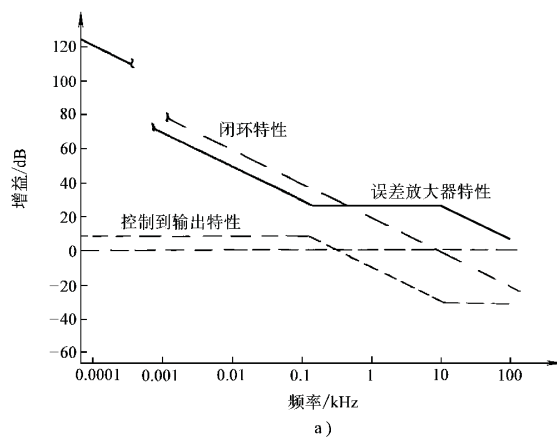
即使工作在变频状况，电流型反激式变换器的控制到输出特性曲线还是单极点的，所以应采用单极—零点补偿方法。滤波器极点、ESR 零点和直流增益等于

$$A_{DC} = \frac{(28V - 15V)^2}{28V \times 2.5V} = 2.41$$

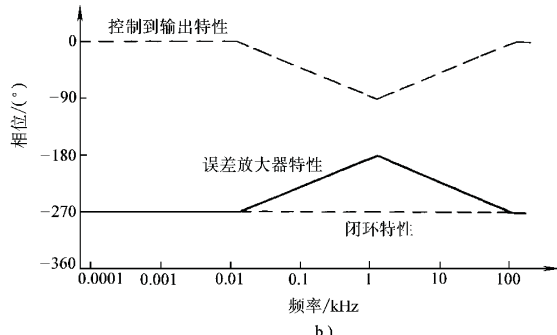
$$G_{DC} = 20\lg 2.41 = 7.7\text{dB}$$

$$f_{fp(hi)} = \frac{1}{2\pi \times 15V / 1A \times 47\mu F} = 225\text{Hz} \text{ (额定负载 (1A) 时)}$$

$$f_{fp(low)} = \frac{1}{2\pi \times 15V / 0.5A \times 47\mu F} = 112\text{Hz} \text{ (轻负载 (0.5A) 时)}$$



a)



b)

图 4-21 4.7.1 节设计实例的幅频和相频特性博德图 (补偿设计)  
a) 电源的幅频特性 b) 电源的相频特性

控制到输出特性曲线见图4-21。

穿越频率应小于 $f_{sw}/5$ , 即

$$f_{xo} < 80\text{kHz}/5 < 16\text{kHz}$$

设为10kHz。

为使穿越频率的增益为0dB, 补偿网络的增益为(见式(B-24))

$$\begin{aligned} G_{xo} &= 20\lg(f_{xo}/f_{fp(\text{hp})}) - G_{DC} \\ &= 20\lg(10\,000\text{Hz}/225\text{Hz}) - 7.7\text{dB} \\ &= 25.2\text{dB} \quad (\text{仅用于博德图}) \end{aligned}$$

$$A_{xo} = 18.3 \quad (\text{标量增益——后面要用到})$$

补偿误差放大器零点设在最低的滤波器极点上, 即

$$f_{ez} = f_{fp(\text{low})} = 112\text{Hz}$$

补偿误差放大器极点设在电容ESR引起的最低的预期零点频率上, 即

$$f_{ep} = f_{p(\text{ESR})} = 10\text{kHz} \quad (\text{近似值})$$

已知+5V电压检测分压器的上电阻值( $R_8 = 12.4\text{k}\Omega$ )。

$$C_3 = \frac{1}{2\pi A_{xo} R_1 f_{xo}} = \frac{1}{2\pi \times 18.3 \times 12.4\text{k}\Omega \times 10\text{kHz}} = 70\text{pF} \quad (\text{取 } 68\text{pF})$$

$$R_3 = A_{xo} R_1 = 18.3 \times 12.4\text{k}\Omega = 227\text{k}\Omega \quad (\text{取 } 220\text{k}\Omega)$$

$$C_4 = \frac{1}{2\pi f_{ez} R_2} = \frac{1}{2\pi \times 112\text{Hz} \times 220\text{k}\Omega} = 0.065\mu\text{F} \quad (\text{取 } 0.06\mu\text{F})$$

最终所设计的电路见图4-22<sup>①</sup>。

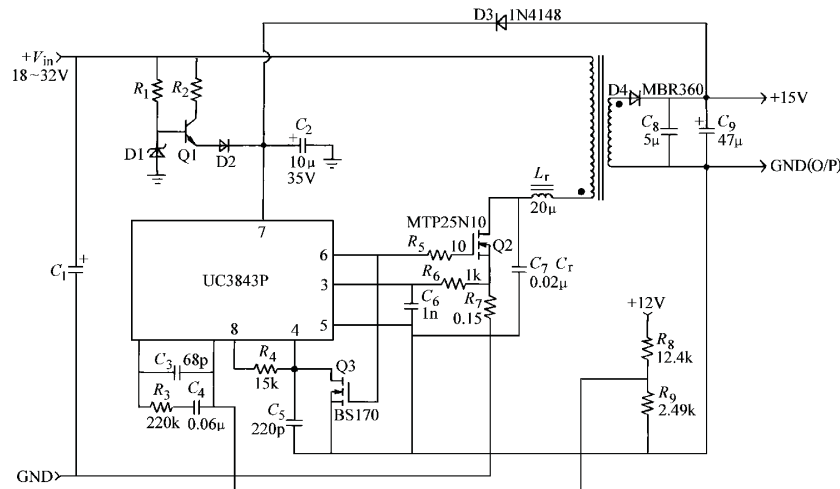


图4-22 ZVS准谐振电流型反激式变换器

<sup>①</sup> 本句为编者所加。——编者注

#### 4.7.3 零电压开关准谐振离线式半桥变换器

这是一种用于分布式系统大容量电源的变换器。它的输出是 DC + 28V/10A，是一种经典的 ZVS 准谐振半桥变换器，即变频、电压型控制及平均过电流保护。它是目前使用市场上有售的 IC 芯片设计的代表性实例。

这个设计例子就是将 PWM 设计实例（3.15.4 节）的电路改造成一个准谐振拓扑，见图 4-25。

##### 设计指标

输出电压:	DC + 28V ± 0.5V
输出额定电流:	额定 10A，最小负载 1A
输入交流电压范围:	AC105 ~ 130V AC208 ~ 240V
输出纹波电压:	50mV (峰峰值)
输出调整:	± 2%

##### 预设计考虑

1. 额定输出功率:  $28V \times 10A = 280W$
2. 估计输入功率:  $P_{in(est)} = 280W/0.8 = 350W$
3. 直流输入电压 (倍压电路用于 AC110V)
  - a. 接 AC110V:  $V_{in(hi)} = 2 \times 1.414 \times AC90V = DC254V$   
 $V_{in(low)} = 2 \times 1.414 \times AC130V = DC368V$
  - b. 接 AC220V:  $V_{in(hi)} = 1.414 \times AC185V = DC262V$   
 $V_{in(low)} = 1.414 \times AC270V = DC382V$
4. 平均输入电流 (DC):
  - a. 最高平均:  $I_{in(max)} = 350W/DC254V = 1.38A$
  - b. 最低平均:  $I_{in(min)} = 350W/DC382V = 0.92A$
5. 估计最大峰值电流:  $I_{pk} = 2.8 \times 280W/DC254V = 3.1A$

变换器要能通过 UL、CSA 和 VDE 的安全认证，这会影响到所采用的设计方法。变换器工作频率在最小负载时的 1MHz 和最大负载时的 200kHz 之间。

##### 设计变压器

使用 E-E 磁心及聚酯薄膜绝缘层，以满足安全规程要求。在 1MHz 频率工作时，必须使用高频磁心材料，以尽可能减少磁心损耗。这些材料应该是 Magnetics 公司的“K”、Phillips 公司的“3C85”或 Siemens 公司的“N67”磁心材料。

要考虑在电源的工作范围内工作磁通密度的变化。在最小负载 (1A) 时，最高频率有 1MHz， $B_{max}$  大约是  $0.1B_{sat}$ ；在最大负载 (10A) 时，工作频率不低于 200kHz，所以  $B_{max}$  应低于  $0.3B_{sat}$ 。现设定  $B_{max}$  在 1MHz 时为 200G，并以它为参考工作点。

磁心尺寸大约是每边长 1.3in (41mm)，这相当于 Magnetics 公司的 K-43515 磁心。设计变压器时，必须记住启动时发出第一个脉冲时承受的是全输入电压，接

下来的几个脉冲是接近输入电压的一半。要保证在第一个脉冲期间磁心不进入饱和，就要更严格地限制最大的  $B_{\max}$ 。

$$N_{\text{pri}} = \frac{382V \times 10^8}{4 \times 200\text{kHz} \times 2 \times 200\text{G} \times 0.904\text{cm}^2} = 24 \text{ 匝}$$

用法拉第定律检验最大工作磁通密度，轻载时，频率约为 1MHz， $B_{\max}$  为 211G；重载时（200kHz）， $B_{\max}$  是 1 100G。这似乎与所要求的非常吻合。

计算所需的二次绕组匝数，需要考虑到 200kHz 下每个 MOSFET 最大周期  $2.5\mu\text{s}$  内谐振时间大约是  $0.5\mu\text{s}$ 。这相当于 84% 的占空比，因此

$$N_{\text{sec}} = \frac{1.1 \times 2.8\text{V} + 0.5\text{V} \times 24 \text{ 匝}}{(254\text{V} - 2\text{V}) \times 84} = 3.55 \text{ 匝 (取 4 匝)}$$

则辅助绕组应该绕两匝。

#### 变压器绕线技巧 (参见 3.5.9 节)

变压器绕法与 PWM 半桥设计实例（3.15.4 节）相同，即二次绕组将交叠在两层一次绕组之间，辅助绕组靠近磁心。当然聚酯薄膜层和骨架边缘 2mm 空隙是必需的，以满足 VDE 要求。

#### 对 LC 谐振回路设计的考虑

期望的谐振回路的谐振频率是 1MHz。在 ZVS QR 变换器中，谐振回路并不储存和传递能量，如同在 ZCS QR 变换器中一样。谐振回路更像是一个类似在 PWM 变换器中使用的缓冲电路那样的关断瞬时整形器。电感和电容的值可以在很宽的范围内选择，只要它们合成的谐振频率是 1MHz，即

$$f_r = \frac{1}{2\pi \sqrt{L_r C_r}}$$

这里打算利用一次侧的漏电感作为谐振电感的一部分，对于这种变压器，漏电感的典型值是  $0.5 \sim 1\mu\text{H}$ 。可以向变压器制造厂商详细介绍绕制方法，使得变压器漏电感的离散性保持最小，还要外加一个小电感。同时也要利用功率 MOSFET 的  $C_{oss}$ （输出电容）作为谐振电容的一部分。这个电容值变化很大，且是非线性的，很难预测它的值。 $C_{oss}$  的值与 MOSFET 关断时的  $V_{DSS}$  有关，它在谐振关断期间会变化。显然，在调试阶段这些值需要调整。

作为估算，大致计算一下所需的谐振电容值。

$$C_r = \frac{1}{L_r \times (2\pi f_r)^2} = \frac{1}{1\mu\text{H} \times (2\pi \times 1\text{MHz})^2} = 0.025\mu\text{F}$$

这个值大于 MOSFET 的输出电容，所以要外加谐振电容。

#### 功率半导体的选择

##### 1. 功率 MOSFET (参见 3.4 节):

$$V_{DSS} > V_{in} = 382\text{V} \text{ (取 500V)}$$

$$I_D > I_{in(\text{ss})} = 2.75\text{A} \text{ (取 4A)}$$

可以采用 MTP4N50E，但 MTP8N50E 会有更低的导通损耗。

##### 2. 输出整流器:

$$V_R > 2V_{out} = DC56\text{V} \text{ (取大于 DC70V)}$$

$$I_{\text{FWD}} > I_{\text{out(max)}} = 10\text{A} \text{ (取 } 20\text{A)}$$

选 MBR20100CT

#### 设计输出滤波器

- 最小交流输出滤波器电感量 (参见 3.5.5 节):

$$L_{\text{o(min)}} = \frac{(40\text{V} - 28\text{V}) \times 1\mu\text{s}}{1.4 \times 1\text{A}} = 8.5\mu\text{H}$$

利用确定 MPP 环形磁心的  $Ll^2$  方法, 选定磁心为 Magnetics 公司的 P/N55206A2。

匝数应该为

$$N_{\text{Lo}} = 1000 \sqrt{\frac{0.0085}{68}} = 11.2 \text{ 匝 (取 } 12 \text{ 匝)}$$

线圈应该用 #12AWG 规格的线, 我们使用 100 股绞合线, 以尽可能减少集肤效应。

- 最低输出滤波电容值 (参见 3.6 节):

$$C_{\text{o(min)}} = \frac{10\text{A} \times 1\mu\text{s}}{0.05\text{V (峰峰值)}} = 200\mu\text{F}$$

使用 4 个  $47\mu\text{F}$  钽电容, 这样有效值纹波电流在典型电容的额定值内, 还要并联一个  $0.5\mu\text{F}$  的瓷电容。

3. 设计输出直流滤波扼流圈 (见 3.5.7 节); 参考磁通密度对直流偏置曲线 (见图 3-22), 并选择磁通密度在适当的直流偏置下不是太低, 选定在 “H” 级 400e 时磁导率为 60。

使用与上述相同尺寸的磁心可以得到

$$N = \frac{300 \times 5.08\text{cm}}{0.4\pi \times 10\text{A}} = 12.12 \text{ 匝 (取 } 13 \text{ 匝)}$$

这是需要 #12AWG, 因为绞合线容易绕在环形磁心上, 并能减少集肤效应, 所以选用绞合线。

#### 设计控制 IC 有关功能

MC34067 数据表含有很多基本的公式和图表用以设定 ZCS QR 变换器的关键定时功能。有些定时, 如单触发关断定时要在调试时调整。

#### 设定最低工作频率

控制 IC 的最低工作频率由振荡器引脚上的  $R$  和  $C$  的组合来设定。首先从图表选定振荡器的电容, 对于 200kHz (周期  $5\mu\text{s}$ ) 放电周期, 可以采用  $200 \sim 300\text{pF}$  电容。取  $C_{\text{osc}} = 220\text{pF}$ , 振荡器的电阻可以计算得

$$R_{\text{osc}} = \frac{T_{\text{max}} - 70\text{ns}}{0.348 C_{\text{osc}}} = \frac{2.5\mu\text{s} - 0.07\mu\text{s}}{0.348 \times 220\text{pF}} = 31.7\text{k}\Omega \text{ (取 } 33\text{k}\Omega)$$

最高工作频率由误差放大器通过电阻  $R_{\text{VFO}}$  所抽取的额外放电电流所确定。决定额外放电电流 ( $I_{\text{max}}$ ) 的公式是

$$I_{\text{max}} = 1.5 C_{\text{osc}} f_{\text{max}} = 1.5 \times 220\text{pF} \times 1\text{MHz} = 330\mu\text{A}$$

流过并联谐振电阻的电流是

$$I_{R_{\text{osc}}} = \frac{1.5}{R_{\text{osc}}} e^{\left(\frac{-1}{R_{\text{osc}} C_{\text{osc}}}\right)} = \frac{1.5}{33\text{k}\Omega} = e^{\left(\frac{-1}{200\text{kHz} \times 33\text{k}\Omega \times 220\text{pF}}\right)} = 22.8\mu\text{A}$$

从误差放大器输出到振荡器的串联放电电阻 ( $R_{VFO}$ ) 值是

$$R_{VFO} = \frac{2.5V - V_{ea(sat)}}{I_{max} - I_{R_{osc}}} = \frac{2.5V - 0.3V}{330\mu A - 22.8\mu A} = 7.16k\Omega \text{ (取 } 6.8k\Omega)$$

#### 设定单触发定时器

单触发定时器可以从图表上完全确定，估计值是  $R_T = 1.5k\Omega$ ，而  $C_T = 220pF$ 。

#### 设计电压负反馈电路

电压负反馈电路通过隔离，并把误差放大器接成同相电压跟随器使用。这在光隔离器和 VFO 之间提供了一个缓冲。因为这种准谐振型控制的方法是一种电压型控制，必须采用 2 极点、2 零点的反馈补偿方式。电路的形式见图 4-23，从图 4-24 可得到这些计算的元件值。

设定输入到误差放大器的最大电压为 +4.5V，MOC8102 有额定的  $C_{tr}$  为 100%，TL431 需要最少 1mA 电流流过才能工作，由此得电阻  $R_1$  为

$$R_1 = 0.5V/1mA \\ = 500\Omega \text{ (取 } 470\Omega)$$

当输入到误差放大器为最低电压时，其输入电压就是光隔离器处于饱和状态时的输出值，即 0.3V。流过光隔离器输出端的电流是

$$I_{max} = \frac{5.0V - 0.3V}{470\Omega} = 10mA$$

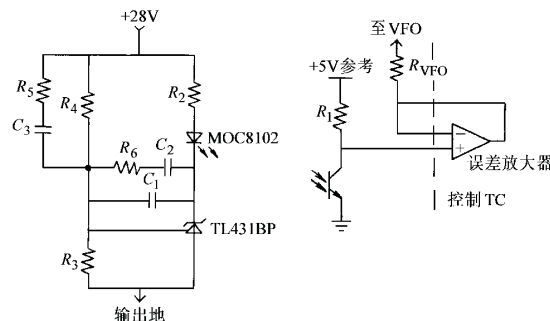


图 4-23 电压反馈电路

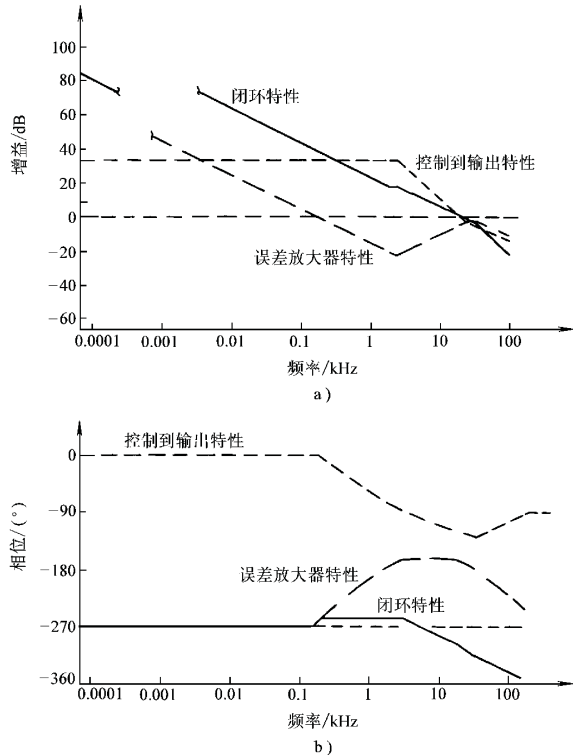


图 4-24 4.7.2 节设计实例的增益和相位博德图 (补偿设计)  
a) 电源增益图 b) 电源相位图

$R_2$  按最大的工作电流点 10mA 确定，它等于

$$R_2 = \frac{28V - V_{fwd} - V_{TL431}}{I_{max}} = \frac{28V - 1.4V - 2.5V}{10mA} = 2410\Omega \text{ (取 } 2.4k\Omega)$$

电压检测分压器的确定先从选定流过分压器的电流开始。选电流为 1mA，则下端电阻 ( $R_3$ ) 为

$$R_3 = 2.5V/1mA = 2.5k\Omega \text{ 或 } 2.49k\Omega, 1\%$$

分压器上端电阻 ( $R_4$ ) 则等于

$$R_4 = \frac{28V - 2.5V}{1mA} = 25.5k\Omega, 1\%$$

#### 设计反馈环补偿 (参见附录 B)

补偿采用两极点、两零点的补偿方法。这是为了补偿输出滤波电感和电容引起的双极点的作用。首先确定开环系统控制到输出特性。

系统直流增益是

$$A_{DC} = \frac{V_{in} N_{sec}}{V_e N_{pri}} = \frac{340V \times 4 \text{ 匝}}{1V \times 24 \text{ 匝}} = 56.6$$

用博德图的 dB 表示， $G_{DC}$  为

$$G_{DC} = 20\log A_{DC} = +35dB$$

输出滤波器极点频率是

$$f_{fp} = \frac{1}{2\pi \sqrt{L_o C_o}} = \frac{1}{2\pi \sqrt{8.5\mu H \times 188\mu F}} = 3.981Hz$$

输出滤波器钽电容的 ESR 引起的零点频率为 20kHz 左右，即

$$f_{Z(ESR)} \approx 20kHz$$

这里选择增益穿越频率为 20kHz，也可以高到 40kHz，但是 TL431 的增益带宽积并不特别大，如果选择过高的穿越频率可能会遇到问题。

使补偿网络两个零点处于同一个频率点，即

$$f_{ez1} = f_{ez2} = 0.5f_{fp} = 1991Hz$$

补偿网络较低的那个极点<sup>①</sup>被置于输出电容 ESR 零点处，因此

$$f_{eq1} = 20kHz$$

另外一个极点 ( $f_{eq2}$ ) 置于高于增益穿越频率处。

$$f_{eq2} = 1.5f_{xo} = 30kHz$$

为了得到所需的增益穿越频率，补偿网络两个补偿极点中间段的增益 ( $G_2$ ) 为

$$G_{xo} = G_2 = 40\lg\left(\frac{f_{xo}}{f_{fp}}\right) = 40\lg\left(\frac{20kHz}{3.981Hz}\right) - 36dB$$

$$A_2 = 0.40$$

补偿网络在两个补偿零点 ( $f_{ez1}$  和  $f_{ez2}$ ) 处的增益是

$$G_1 = G_2 + 20\lg\left(\frac{f_{ez2}}{f_{eq1}}\right) = -6.9dB + 20\lg\left(\frac{1990Hz}{20kHz}\right) = -26.9dB$$

---

① 原文误为零点。——译者注

$$A_1 = 0.0451$$

补偿网络的参数计算如下（参见图4-23）。

$$C_1 = \frac{1}{2\pi f_{\text{xo}} A_2 R_4} = \frac{1}{2\pi \times 20\text{kHz} \times 0.4 \times 25.5\text{k}\Omega} = 780\text{pF} \quad (\text{取 } 750\text{pF})$$

$$R_6 = A_2 R_1 = 0.4 \times 25.5\text{k}\Omega = 10.2\text{k}\Omega \quad (\text{取 } 10\text{k}\Omega)$$

$$C_3 = \frac{1}{2\pi f_{\text{eo}} R_1} = \frac{1}{2\pi \times 1991\text{Hz} \times 25.5\text{k}\Omega} = 3134\text{pF} \quad (\text{取 } 0.003\mu\text{F})$$

$$R_3 = R_2/A_2 = 10\text{k}\Omega/0.0451 = 221\text{k}\Omega \quad (\text{取 } 220\text{k}\Omega)$$

$$C_2 = \frac{1}{2\pi f_{\text{q2}} R_2} = \frac{1}{2\pi \times 30\text{kHz} \times 220\text{k}\Omega} = 24\text{pF}$$

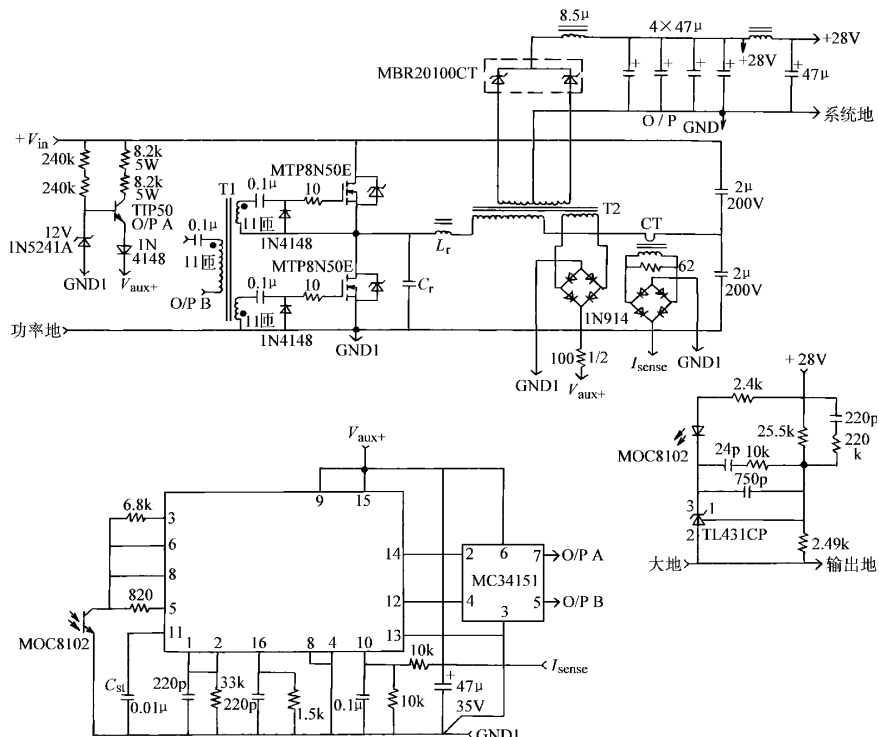
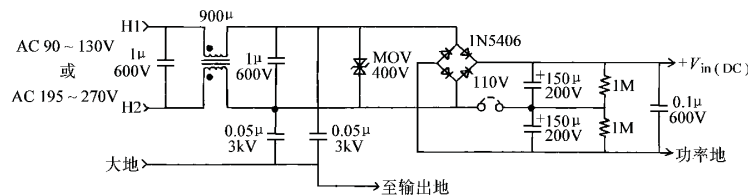


图4-25 ZVS QR半桥变换器电路